

01;03

# Модификация теории пограничного слоя для расчета осцилляций конечной амплитуды заряженного пузырька в вязкой жидкости

© А.Н. Жаров, А.И. Григорьев, И.Г. Жарова

Ярославский государственный университет им. П.Г. Демидова,  
150000 Ярославль, Россия  
e-mail: grig@uniyar.ac.ru

(Поступило в Редакцию 12 июля 2007 г.)

Существующие представления о связанном с волновым движением в пограничном слое вблизи свободной поверхности вязкой жидкости модифицированы для расчета линейных осцилляций конечной амплитуды заряженного пузырька в вязкой жидкости. Выведены уравнения теории пограничного слоя в окрестности осциллирующей сферической свободной поверхности заряженного пузырька в диэлектрической жидкости, найдено их аналитическое решение, проведено сравнение с точным решением и оценена толщина пограничного слоя. Определена область применимости модифицированной теории.

PACS: 47.55.D-

## Введение

В середине прошлого века Лонгет-Хиггинс [1] обратил внимание на то, что распространение волны по свободной плоской поверхности жидкости связано с генерированием вихревого движения, экспоненциально убывающего с увеличением расстояния до поверхности. Сходная ситуация имеет место и при расчете осцилляций конечной амплитуды пузырька в вязкой жидкости. Выполненные в последние годы аналитические асимптотические расчеты осцилляций заряженного пузырька в вязкой жидкости [2] продемонстрировали весьма значительную громоздкость необходимых расчетов и полученных результатов, существенно затрудняющую использование полученных результатов. В этой связи возникла идея проведения аналитического исследования осцилляций конечной амплитуды заряженного пузырька в вязкой жидкости на основе упрощенных уравнений теории пограничного слоя в надежде получить существенно менее громоздкие финальные выражения в рамках заранее определенной погрешности. Этой проблеме и посвящена настоящая работа.

## 1. Постановка задачи

Пусть в жидкости с диэлектрической проницаемостью  $\epsilon_d$ , плотностью  $\rho$ , кинематической вязкостью  $\nu$ , коэффициентом поверхностного натяжения  $\sigma$ , в области с давлением  $p^{(0)}$  виртуально образовался сферический пузырек радиуса  $r_0$ , несущий электрический заряд  $Q$  на стенке. Будем считать, что в пузырьке находится газ с начальным давлением  $p_g^{(0)}$ , подчиняющийся политропическому закону с показателем политропы  $\gamma$  и насыщенный пар жидкости с давлением  $p_v$ .

При изменяющемся давлении внешней жидкости  $p^{(0)}$ , заряде на пузырьке  $Q$ , давлении насыщенного пара  $p_v$  или каких-либо других характеристиках жидкости или

газа граница пузырька будет двигаться под действием суммарного давления

$$P(r) = -p^{(0)} + p_v + p_g^{(0)} \left(\frac{r_0}{r}\right)^{3\gamma} + \frac{Q^2}{8\pi\epsilon_d r^4} - \frac{2\sigma}{r}, \quad (1)$$

где  $r$  — текущий радиус пузырька. Так, если  $P(r) > 0$  — то пузырек расширяется, если  $P(r) < 0$  — сжимается, если  $P(r) = 0$  — находится в равновесии. Из выражения (1) видно, что уравнение  $P(r) = 0$  может иметь различное количество корней: один, два, ни одного [3], которые в дальнейшем будем обозначать  $r = a$ .

Рассмотрим капиллярные осцилляции пузырька, находящегося в одном из равновесных состояний, т.е. при  $r = a$ . Поле скоростей жидкости в окрестности пузырька обозначим  $\mathbf{U}(r, \vartheta, t)$ , поле давлений —  $p(r, \vartheta, t)$ , потенциалы электрического поля в окрестности пузырька и на его поверхности обозначим  $\varphi(r, \vartheta, t)$  и  $\varphi_S(t)$  соответственно. Уравнение поверхности пузырька, совершающего осесимметричные осцилляции в любой момент времени  $t$ , запишем в сферической системе координат  $r, \vartheta, \varphi$  с началом в центре невозмущенного пузырька в виде

$$F(r, \vartheta, t) = r - a - R(t) - \xi(\vartheta, t) = 0 \quad (2)$$

с начальным условием

$$t = 0: \quad R(t) = \epsilon h_0 P_0(\mu); \quad \xi = \epsilon \sum_{m \in \Omega} h_m P_m(\mu);$$

$$\mu = \cos(\vartheta); \quad \mathbf{U} = 0, \quad (3)$$

где  $\epsilon$  — малый параметр, характеризующий амплитуду начального возмущения;  $P_m(\mu)$  — полином Лежандра порядка  $m$ ;  $\Omega$  — множество индексов изначально возбужденных мод;  $h_0$  и  $h_m$  — константы, учитывающие парциальный вклад  $m$ -й моды в формирование начальной формы пузырька, такие, что  $h_0 + \sum_{m \in \Omega} h_m = O(a)$ .

Математическая формулировка задачи о расчете капиллярных колебаний заряженного пузырька, форма которого определяется (2), (3), имеет вид [2]

$$\operatorname{div} \mathbf{U} = 0, \quad (4)$$

$$\partial_t \mathbf{U} + (\mathbf{U} \cdot \nabla) \mathbf{U} = -\frac{1}{\rho} \operatorname{grad} p + \nu \Delta \mathbf{U}, \quad (5)$$

$$r \rightarrow +\infty: \quad \mathbf{U} \rightarrow 0, \quad (6)$$

$$\Delta \varphi = 0, \quad \nabla \varphi \rightarrow 0, \quad (7)$$

$$r = a + R(t) + \xi(\vartheta, t): \quad \varphi = \varphi_S(t);$$

$$\int_S \mathbf{n} \cdot \nabla \varphi dS = -4\pi Q; \quad \partial_t F + (\mathbf{U} \cdot \nabla) F = 0; \quad (8)$$

$$\boldsymbol{\tau} \cdot (\mathbf{n} \cdot \nabla) \mathbf{U} + \mathbf{n} \cdot (\boldsymbol{\tau} \cdot \nabla) \mathbf{U} = 0;$$

$$-p + 2\rho\nu \mathbf{n} \cdot (\mathbf{n} \cdot \nabla) \mathbf{U} + p_V + p_g + p_Q - p_\sigma = 0, \quad (9)$$

где символ  $\partial_t$  означает частную производную по переменной  $t$ ;  $\mathbf{n}$  и  $\boldsymbol{\tau}$  — единичные вектора нормали и касательной к свободной поверхности пузырька;  $p_\sigma$ ,  $p_Q$ ,  $p_g$  — давления сил поверхностного натяжения, электрического поля собственного заряда, давление газа в пузырьке, определяющиеся выражениями

$$p_\sigma = \sigma(\nabla \cdot \mathbf{n}), \quad p_Q = \frac{1}{8\pi\epsilon_d} (\nabla \varphi)^2, \quad p_g = p_{g0} \left( \frac{V_0}{V} \right)^\gamma;$$

$V_0$  и  $V$  — начальный и текущий объем пузырька.

## 2. Обоснование уравнений пограничного слоя

При решении системы (2)–(9) примем, что поле скоростей течения жидкости в окрестности пузырька, как любое векторное поле, можно представить в виде потенциальной и вихревой компонент [4]. Потенциальная компонента течения не изменяется при переходе к модели идеальной жидкости (при  $\nu \rightarrow 0$ ), наличие вихревой компоненты течения всецело обусловлено вязкостью реальной жидкости.

В соответствии с начальными условиями (3) в начальный момент времени поверхность пузырька неподвижна и движение жидкости в окрестности пузырька отсутствует. При  $t > 0$  под влиянием сил поверхностного натяжения, стремящихся вернуть пузырьку сферическую форму, жидкость в окрестности пузырька начнет двигаться, таким образом, чтобы были выполнены условия (8), (9). Движение стенки пузырька будет приводить к образованию потенциальных и вихревых движений в окружающей пузырек жидкости. Вихри скорости жидкости, рожденные у стенки пузырька, будут диффундировать в объем жидкости. Этот процесс может быть описан уравнением, которое несложно получить из линеаризованного уравнения Навье–Стокса (5), применяя к нему операцию ротора (5):

$$\partial_t (\operatorname{rot}(\mathbf{U})) = \nu \Delta \operatorname{rot}(\mathbf{U}).$$

Как видно из приведенного уравнения, процесс диффузии вихря скорости, рожденного на подвижной стенке пузырька, в объем жидкости определится величиной коэффициента кинематической вязкости жидкости  $\nu$ . При большом значении  $\nu$  характерная глубина проникновения вихревого движения в объем жидкости (расстояние, на котором амплитуда вихря за период осциллирующий затухает в 2.718 раза), пропорциональная  $\sqrt{\nu}$ , может быть значительной [1,5]. При малой вязкости вихревое движение будет локализовано в тонком слое, прилегающем к поверхности пузырька.

В соответствии с вышесказанным при модификации теории пограничного слоя для расчета осциллирующей пузырька в маловязкой жидкости будем считать, что в основном объеме жидкости, вдали от стенки пузырька, движение жидкости является чисто отрицательным. В тонком пограничном слое у стенки пузырька движение жидкости будем представлять в виде суммы потенциального и вихревого, как это принято при расчете волновых течений вязкой жидкости [6–8]. При этом, согласно [9], будем учитывать, что амплитуда вихревой компоненты течения затухает по мере удаления от поверхности пузырька быстрее, чем по экспоненциальному закону, и заметно убывает на некотором характерном линейном масштабе  $\delta$ , который и будем называть толщиной пограничного слоя.

Поля скоростей течения жидкости и давлений, связанных с течением окружающей пузырек жидкости, представим в виде

$$\mathbf{U}(r, \vartheta, t) = \mathbf{U}^{(p)}(r, \vartheta, t) + \mathbf{U}^{(c)}(r, \vartheta, t); \quad (10)$$

$$p(r, \vartheta, t) \equiv p^{(p)}(r, \vartheta, t), \quad (11)$$

где индекс  $(p)$  соответствует потенциальному движению, а  $(c)$  — вихревому. При записи выражения для давления в жидкости учитывалось, что, согласно [2] в расчетах первого порядка малости давление в жидкости целиком определяется потенциальной компонентой поля скоростей; вклад вихревой компоненты поля скоростей в формирование поля давлений в жидкости пропорционален квадрату вихревой компоненты скорости и в расчетах первого порядка малости должен быть опущен.

Подставив (10), (11) в уравнение неразрывности (4) и линеаризованное уравнение Навье–Стокса (5), получим уравнения, описывающие потенциальное движение жидкости в окрестности осциллирующего пузырька

$$\operatorname{div} \mathbf{U}^{(p)} = 0, \quad \partial_t \mathbf{U}^{(p)} = -\frac{1}{2} \operatorname{grad} p^{(p)} \quad (12)$$

и уравнения для вихревой компоненты поля скоростей

$$\operatorname{div} \mathbf{U}^{(c)} = 0, \quad (13)$$

$$\partial_t \mathbf{U}^{(c)} = -\nu \operatorname{rot}(\operatorname{rot} \mathbf{U}^{(c)}). \quad (14)$$

Уравнения (13) и (14) выпишем в проекциях на орты сферической системы координат:

$$\frac{1}{r^2} \partial_r (r^2 U_r^{(c)}) + \frac{1}{r \sin(\vartheta)} \partial_\vartheta (\sin(\vartheta) U_\vartheta^{(c)}) = 0; \quad (15)$$

$$\partial_t U_r^{(c)} = \frac{\nu}{r \sin(\vartheta)} \times \partial_\vartheta \left( \sin(\vartheta) \left( \frac{1}{r} \partial_\vartheta U_r^{(c)} - \partial_r U_\vartheta^{(c)} - \frac{1}{r} U_\vartheta^{(c)} \right) \right); \quad (16)$$

$$\partial_r U_\vartheta^{(c)} = \nu \left( \partial_{rr} U_\vartheta^{(c)} + \frac{2}{r} \partial_r U_\vartheta^{(c)} - \frac{1}{r} \partial_{r\vartheta} U_r^{(c)} \right). \quad (17)$$

Несложно видеть, что в системе трех уравнений (15)–(17) определению подлежат лишь две неизвестные величины  $U_r^{(c)}$  и  $U_\vartheta^{(c)}$ . Сказанное означает, что из уравнений (15)–(17) одно должно быть отброшено. Для разрешения этой проблемы, чтобы получить приближенные уравнения, описывающие вихревые компоненты поля скоростей внутри пограничного слоя, оценим отдельные слагаемые, входящие в уравнения (15)–(17). Для этого учтем, что вихревые составляющие поля скоростей как функции координаты  $r$  должны заметно изменяться на характерном линейном масштабе, равном толщине пограничного слоя  $\delta$ , а как функции полярного угла  $\vartheta$ , должны заметно меняться на характерном угловом масштабе, равном  $\pi$ . Следовательно, при оценке отдельных вихревых слагаемых производные по радиальной и угловой переменным будем оценивать на основе соотношений:  $\partial_r \rightarrow 1/\delta$ ,  $\partial_\vartheta \rightarrow 1/\pi$ .

Оценив компоненты уравнения (15), найдем

$$\frac{1}{r^2} \partial_r (r^2 U_r^{(c)}) \sim O\left(\frac{U_r^{(c)}}{\delta}\right);$$

$$\frac{1}{r \sin(\vartheta)} \partial_\vartheta (\sin(\vartheta) U_\vartheta^{(c)}) \sim O\left(\frac{U_\vartheta^{(c)}}{a\pi}\right).$$

Приравняв порядки указанных величин, несложно найти оценку для угловой компоненты поля скоростей по сравнению с радиальной компонентой

$$U_\vartheta^{(c)} \sim O\left(\frac{a\pi}{\delta} U_r^{(c)}\right). \quad (18)$$

Из (18) видно, что, если толщина пограничного слоя  $\delta \ll \pi a$ , то проекция вихревой компоненты скорости на направление  $\mathbf{e}_\vartheta$  существенно превосходит по величине проекцию вихревой компоненты скорости на направление  $\mathbf{e}_r$ , что является основным свойством пограничного слоя, прилегающего к свободной поверхности пузырька.

Для того чтобы иметь возможность оценить производные от вихревых компонент скорости по времени, содержащиеся в уравнениях (16), (17), выпишем уравнение для вихря скорости

$$\partial_t (\Omega) = \nu \left( \frac{1}{r^2} \partial_r (r^2 \partial_r \Omega) + \frac{1}{r^2 \sin(\vartheta)} \partial_\vartheta (\sin(\vartheta) \partial_\vartheta \Omega) - \frac{1}{r^2 \sin^2(\vartheta)} \Omega \right),$$

где  $\Omega \equiv (\text{rot } \mathbf{U})_\varphi$  — проекция ротора скорости на орт сферической системы координат  $\mathbf{e}_\varphi$ . Произведя оценку

каждого слагаемого, найдем характерное время диффузии вихря скорости в объем жидкости, окружающей пузырек,  $T \sim O(\delta^2/\nu)$ .

Учитывая (18), а также оценку для характерного времени диффузии вихря  $T$ , оценим каждое слагаемое в уравнении (16)

$$\partial_t U_r^{(c)} \sim O\left(\frac{U_r^{(c)}}{T}\right) = O\left(\frac{\nu}{\delta^2} U_r^{(c)}\right);$$

$$\frac{\nu}{r \sin(\vartheta)} \frac{1}{r} \partial_\vartheta (\sin(\vartheta) \partial_\vartheta U_r^{(c)}) \sim O\left(\frac{\nu}{\pi^2 a^2} U_r^{(c)}\right);$$

$$\frac{\nu}{r \sin(\vartheta)} \partial_\vartheta (\sin(\vartheta) \partial_r U_\vartheta^{(c)}) \sim O\left(\frac{\nu}{\delta^2} U_r^{(c)}\right);$$

$$\frac{\nu}{r \sin(\vartheta)} \frac{1}{r} \partial_\vartheta (\sin(\vartheta) U_\vartheta^{(c)}) \sim O\left(\frac{\nu}{a\delta} U_r^{(c)}\right). \quad (19)$$

Примем во внимание, что, согласно сказанному выше (см. [1]), толщина пограничного слоя  $\delta \sim \sqrt{\nu}$ . Тогда из (19) видно, что в пределе  $\nu \rightarrow 0$  первая и третья компоненты имеют порядок малости  $\sim O(U_r^{(c)})$ , а остальные стремятся к нулю.

Оценив слагаемые в уравнении (17), с учетом (18) и характерного времени диффузии вихря  $T = O(\delta^2/\nu)$ , найдем

$$\partial_t U_\vartheta^{(c)} \sim O\left(\frac{U_\vartheta^{(c)}}{T}\right) = O\left(\frac{\nu a \pi}{\delta^3} U_r^{(c)}\right);$$

$$\nu \partial_{rr} U_\vartheta^{(c)} = O\left(\frac{\nu a \pi}{\delta^3} U_r^{(c)}\right);$$

$$\frac{2\nu}{r} \partial_r U_\vartheta^{(c)} \sim O\left(\frac{2\nu \pi}{\delta^2} U_r^{(c)}\right);$$

$$\frac{\nu}{r} \partial_{r\vartheta} U_r^{(c)} \sim O\left(\frac{\nu}{a\pi\delta} U_r^{(c)}\right).$$

Несложно видеть, что в уравнении (17) наиболее значимыми слагаемыми являются  $\partial_t U_\vartheta^{(c)}$  и  $\nu \partial_{rr} U_\vartheta^{(c)}$ , имеющие порядок  $O(\nu a \pi U_r^{(c)} \delta^3)$  и растущие в пределе  $\nu \rightarrow 0$ . Остальные компоненты уравнения (17) в пределе  $\nu \rightarrow 0$  либо убывают, либо не изменяются.

Таким образом, из проведенных оценок следует, что в системе дифференциальных уравнений в частных производных второго порядка (15)–(17), описывающих вихревую компоненту течения жидкости в окрестности пузырька, уравнение (16) включает в себя в пределе  $\nu \rightarrow 0$ , много меньшие наиболее значимых компонент уравнения (17). В итоге в асимптотике малой вязкости уравнение (16) должно быть отброшено, а в уравнении (17) оставлены лишь два слагаемых, значения возрастают при  $\nu \rightarrow 0$ :

$$\partial_t U_\vartheta^{(c)} = \nu \partial_{rr} U_\vartheta^{(c)}. \quad (20)$$

Уравнения (15) и (20) дают нам искомую систему уравнений пограничного слоя в окрестности осциллирующей свободной поверхности пузырька в вязкой жидкости.

### 3. Решение уравнений пограничного слоя

Решение сформулированной задачи будем искать методом прямого разложения по малому параметру  $\varepsilon$ , имея в виду, что  $R, \xi, U_\vartheta^{(c)}, U_r^{(c)}, U_r^{(p)}, U_\vartheta^{(p)}$  являются величинами первого порядка малости по  $\varepsilon$ , а давление жидкости и электростатический потенциал имеют компоненты и нулевого порядка малости. Поэтому давление и потенциалы представим в виде асимптотических разложений

$$p^{(p)}(t, \vartheta, t) = p^{(0)} + p^{(p)(1)}(r, \vartheta, t) + O(\varepsilon^2);$$

$$\varphi(r, \vartheta, t) = \varphi^{(0)}(r, t) + \varphi^{(1)}(r, \vartheta, t) + O(\varepsilon^2);$$

$$\varphi_S(t) = \varphi_S^{(0)}(t) + \varphi_S^{(1)}(t) + O(\varepsilon^2),$$

где параметра с индексом „0“ имеют нулевой порядок малости, а с индексом „1“ — первый. Подставив данные разложения в систему уравнений (2), (3), (6)–(9), (12), (15), (20) и выделив слагаемые нулевого порядка малости, получим задачу для расчета равновесного состояния:

$$\Delta\varphi^{(0)} = 0; \quad r \rightarrow +\infty: \quad \nabla\varphi^{(0)} \rightarrow 0; \quad \varphi^{(0)}(a, t) = \varphi_S^{(0)}(t);$$

$$\int_{-1}^1 a^2 \partial_r \varphi^{(0)}(r, t) d(\cos \vartheta) = -2Q;$$

$$-p^{(0)} + p_V + p_g^{(0)} \left(\frac{r_0}{a}\right)^{3\gamma} + \frac{1}{8\pi\varepsilon_d} (\partial_r \varphi^{(0)}(r, t))^2 - \frac{2\sigma}{a} = 0. \quad (21)$$

Решив систему (21), найдем

$$\varphi^{(0)} = \frac{Q}{r}; \quad \varphi_S^{(0)} = \frac{Q}{a};$$

$$P(a) = -p^{(0)} + p_V + p_g^{(0)} \left(\frac{r_0}{a}\right)^{3\gamma} + \frac{Q^2}{8\pi\varepsilon_d a^4} - \frac{2\sigma}{a} = 0. \quad (22)$$

Выделив слагаемые первого порядка малости по  $\varepsilon$ , получим задачу для расчета полей скоростей, давления жидкости и электростатических потенциалов, связанных с линейными осцилляциями пузырька в жидкости:

$$\frac{1}{r^2} \partial_r (r^2 U_r^{(p)}) + \frac{1}{r \sin(\vartheta)} \partial_\vartheta (\sin(\vartheta) U_\vartheta^{(p)}) = 0;$$

$$\partial_t U_r^{(p)} = -\frac{1}{\rho} \partial_r p^{(p)(1)}; \quad \partial_t U_\vartheta^{(p)} = -\frac{1}{\rho r} \partial_\vartheta p^{(p)(1)};$$

$$\frac{1}{r^2} \partial_r (r^2 U_r^{(c)}) + \frac{1}{r \sin(\vartheta)} \partial_\vartheta (\sin(\vartheta) U_\vartheta^{(c)}) = 0;$$

$$\partial_t U_\vartheta^{(c)} = \nu \partial_{r,r} U_\vartheta^{(c)};$$

$$t = 0: \quad R = h_0 P_0(\mu); \quad \xi = \sum_{m \in \Omega} h_m P_m(\mu); \quad \mathbf{U}^{(p)} + \mathbf{U}^{(c)} = 0;$$

$$r \rightarrow +\infty: \quad \mathbf{U}^{(p)} \rightarrow 0, \quad \mathbf{U}^{(c)} \rightarrow 0; \quad \Delta\varphi^{(1)} = 0;$$

$$r \rightarrow +\infty: \quad \nabla\varphi^{(1)} \rightarrow 0;$$

$$r = a: \quad \varphi^{(1)} + (R + \xi) \partial_r \varphi^{(0)} = \varphi_S^{(1)}(t);$$

$$\int_{-1}^1 \left( a \partial_r \varphi^{(1)} + (R + \xi) (a \partial_{r,r} \varphi^{(0)} + 2 \partial_r \varphi^{(0)}) \right) d(\mu) = 0;$$

$$\partial_t R + \partial_t \xi = U_r^{(p)} + U_r^{(c)};$$

$$\partial_r (U_\vartheta^{(p)} + U_\vartheta^{(c)}) + \frac{1}{r} \partial_\vartheta (U_r^{(p)} + U_r^{(c)}) - \frac{1}{r} (U_\vartheta^{(p)} + U_\vartheta^{(c)}) = 0;$$

$$-p^{(p)(1)} + 2\rho\nu (\partial_r U_r^{(p)} + \partial_r U_r^{(c)}) - p_g^{(0)} \left(\frac{r_0}{a}\right)^{3\gamma} \frac{3\gamma}{a} R$$

$$+ \frac{1}{4\pi\varepsilon_d} \partial_r \varphi^{(0)} (\partial_r \varphi^{(1)} + (R + \xi) \partial_{r,r} \varphi^{(0)})$$

$$+ \frac{2\sigma}{a^2} R + \frac{\sigma}{a^2} (2 + \Delta_\Omega) \xi = 0, \quad (23)$$

где  $\Delta_\Omega$  — угловая часть оператора Лапласа.

В системе (23) выполним преобразование Лапласа по времени, т.е. от функций перейдем к их изображениям [9]

$$f(S) = \int_0^{+\infty} f(t) \exp(-St) dt,$$

$$f = \{U_r^{(p)}, U_\vartheta^{(p)}, U_r^{(c)}, U_\vartheta^{(c)}, p^{(p)(1)}, R, \xi, \varphi^{(1)}, \varphi_S^{(1)}\}.$$

Изображения Лапласа разложим по бесконечному набору полиномов Лежандра

$$U_r^{(p)}(r, \vartheta, S) = U_{r0}^{(p)}(r, S) P_0(\mu) + \sum_{n=1}^{+\infty} U_{r,n}^{(p)}(r, S) P_n(\mu);$$

$$U_r^{(c)}(r, \vartheta, S) = \sum_{n=1}^{+\infty} U_{r,n}^{(c)}(r, S) P_n(\mu);$$

$$U_\vartheta^{(p)}(r, \vartheta, S) = \sum_{n=1}^{+\infty} U_{\vartheta n}^{(p)}(r, S) \partial_\vartheta P_n(\mu);$$

$$U_\vartheta^{(c)}(r, \vartheta, S) = \sum_{n=1}^{+\infty} U_{\vartheta n}^{(c)}(r, S) \partial_\vartheta P_n(\mu);$$

$$\xi(\vartheta, S) = \sum_{n=1}^{+\infty} \xi_n(S) P_n(\mu);$$

$$\varphi^{(1)}(r, \vartheta, S) = \varphi_0^{(1)}(r, S) P_0(\mu) + \sum_{n=1}^{+\infty} \varphi_n^{(1)}(r, S) P_n(\mu);$$

$$p^{(p)(1)}(r, \vartheta, S) = p_0^{(p)(1)}(r, S) P_0(\mu) + \sum_{n=1}^{+\infty} p_n^{(p)(1)}(r, S) P_n(\mu).$$

В результате из системы (23) можно выделить систему уравнений, описывающие радиальные и поверхностные колебания пузырька, первая из которых имеет вид

$$\partial_r U_{r0}^{(p)}(r, S) + \frac{2}{r} U_0^{(p)}(r, S) = 0;$$

$$S U_{r0}^{(p)}(r, S) = -\frac{1}{\rho} \partial_r p_0^{(p)(1)}(r, S); \quad (24)$$

$$\partial_{rr}\varphi_0^{(1)}(r, S) + \frac{2}{r}\partial_r\varphi_0^{(1)}(r, S) = 0; \quad (25)$$

$$r \rightarrow +\infty: \quad U_{r0}^{(p)}(r, S) \rightarrow 0; \quad \partial_r\varphi_0^{(1)}(r, S) \rightarrow 0; \\ \varphi_0^{(1)}(r, S) \rightarrow 0; \quad (26)$$

$$r = a: \quad \int_{-1}^1 (a\partial_r\varphi_0^{(1)}(r, S) + R(S)(a\partial_{rr}\varphi^{(0)} + 2\partial_r\varphi^{(0)}))P_0(\mu)d(\mu) = 0; \quad (27)$$

$$\varphi_0^{(1)}(r, S) + R(S)\partial_r\varphi^{(0)} = \varphi_S^{(1)}(S); \quad (28)$$

$$SR(S) - h_0 = U_{r0}^{(p)}(r, S); \quad (29)$$

$$-p_0^{(p)(1)}(r, S) + 2\rho\nu\partial_r U_{r0}^{(p)}(r, S) - p_g^{(0)}\left(\frac{r_0}{a}\right)^{3\gamma}\frac{3\gamma}{a}R(S) + \frac{1}{4\pi\epsilon_d}\partial_r\varphi^{(0)}(\partial_r\varphi_0^{(1)}(r, S) + R(S)\partial_{rr}\varphi^{(0)}) + \frac{2\sigma}{a^2}R(S) = 0, \quad (30)$$

а вторую можно записать в виде

$$\partial_r U_{rn}^{(p)}(r, S) + \frac{2}{r}U_{rn}^{(p)}(r, S) - \frac{n(n+1)}{r}U_{\vartheta n}^{(p)}(r, S) = 0; \quad (31)$$

$$SU_{rn}^{(p)}(r, S) = -\frac{1}{\rho}\partial_r p_n^{(p)(1)}(r, S);$$

$$SU_{\vartheta n}^{(p)}(r, S) = -\frac{1}{\rho r}p_n^{(p)(1)}(r, S); \quad (32)$$

$$\partial_r U_{rn}^{(c)}(r, S) + \frac{2}{r}U_{rn}^{(c)}(r, S) - \frac{n(n+1)}{r}U_{\vartheta n}^{(c)}(r, S) = 0; \quad (33)$$

$$SU_{\vartheta n}^{(c)}(r, S) = \nu\partial_{r,r}U_{\vartheta n}^{(c)}(r, S); \quad (34)$$

$$r \rightarrow +\infty: \quad U_{rn}^{(p)}(r, S) \rightarrow 0; \quad U_{rn}^{(c)}(r, S) \rightarrow 0; \\ U_{\vartheta n}^{(p)}(r, S) \rightarrow 0; \quad U_{\vartheta n}^{(c)}(r, S) \rightarrow 0; \quad (35)$$

$$\partial_{rr}\varphi_n^{(1)}(r, S) + \frac{2}{r}\partial_r\varphi_n^{(1)}(r, S) - n(n+1)\varphi_n^{(1)}(r, S) = 0; \quad (36)$$

$$\partial_r\varphi_n^{(1)}(r, S) \rightarrow 0; \quad \varphi_n^{(1)}(r, S) \rightarrow 0; \quad (37)$$

$$\varphi_n^{(1)}(r, S) + \xi_n(S)\partial_r\varphi^{(0)} = 0; \quad (38)$$

$$S\xi_n(S) - h_n = U_{rn}^{(p)}(r, S) + U_{rn}^{(c)}(r, S); \quad (39)$$

$$\partial_r \left( U_{\vartheta n}^{(p)}(r, S) + U_{\vartheta n}^{(c)}(r, S) \right) + \frac{1}{r} \left( U_{rn}^{(p)}(r, S) + U_{rn}^{(c)}(r, S) \right) - \frac{1}{r} \left( U_{\vartheta n}^{(p)}(r, S) + U_{\vartheta n}^{(c)}(r, S) \right) = 0; \quad (40)$$

$$-p_n^{(p)(1)}(r, S) + 2\rho\nu(\partial_r U_{rn}^{(p)}(r, S) + \partial_r U_{rn}^{(c)}(r, S)) + \frac{1}{4\pi\epsilon_d}\partial_r\varphi^{(0)}(\partial_r\varphi_n^{(1)}(r, S) + \xi_n(S)\partial_{rr}\varphi^{(0)}) - \frac{\sigma}{a^2}(n+2)(n-1)\xi_n(S) = 0. \quad (41)$$

### За. Решение уравнений пограничного слоя (24), (25), описывающих радиальные пульсации пузырька без изменения его формы

Решив систему (24), (25) с учетом условия ограниченности (26), с граничными условиями (27)–(30) и принимая во внимание решения задачи нулевого порядка (22), найдем

$$U_{r0}^{(p)}(r, S) = \frac{A_0(S)}{r^2}; \quad p_0^{(p)(1)}(r, S) = \rho S \frac{A_0 S}{r}; \\ \varphi_0^{(1)}(r, S) = 0; \quad \varphi_S^{(1)}(S) = -\frac{Q}{a^2}R(S), \quad (42)$$

где  $A_0(S)$  — константа.

Подставив (42) в (29), (30), получим систему для определения двух констант  $A_0(S)$ ,  $R(S)$

$$SR(S) - h_0 = \frac{A_0(S)}{a^2};$$

$$S \frac{A_0(S)}{a^2} + 4\nu \frac{A_0(S)}{a^4} + \omega_0^2 R(S) = 0, \quad (43)$$

где  $\omega_0$  — частота радиальных колебаний пузырька, определяющаяся выражением

$$\omega_0^2 = \frac{3\gamma}{\rho a^2} p_g^{(0)} \left( \frac{r_0}{a} \right)^{3\gamma} - \frac{2\sigma}{\rho a^3} + \frac{Q^2}{2\pi\epsilon_d \rho a^6}.$$

Из систему (43) несложно найти коэффициенты  $A_0(S)$ ,  $R(S)$ , которые примут вид

$$R(S) = h_0 \left( S + \frac{4\nu}{a^2} \right) \left( S^2 + \frac{4\nu}{a^2} S + \omega_0^2 \right)^{-1};$$

$$A_0(S) = -\omega_0^2 a^2 h_0 \left( S^2 + \frac{4\nu}{a^2} S + \omega_0^2 \right)^{-1}.$$

Подставив найденное значение  $A_0(S)$  в (42), найдем

$$U_{r0}^{(p)}(r, S) = -\omega_0^2 h_0 \frac{a^3}{r^2} \left( S^2 + \frac{4\nu}{a^2} S + \omega_0^2 \right)^{-1};$$

$$p_0^{(p)(1)}(r, S) = -\rho S a \omega_0^2 h_0 \frac{a}{r} \left( S^2 + \frac{4\nu}{a^2} S + \omega_0^2 \right)^{-1}.$$

Выполнив обратное преобразование Лапласа, получим

$$R(t) = h_0 \left( \cos(\psi_0 t) + 2 \frac{\nu}{a^2} \frac{\sin(\psi_0 t)}{\psi_0} \right) \exp \left( -2 \frac{\nu}{a^2} t \right);$$

$$U_0^{(p)}(r, t) = -\omega_0^2 h_0 \frac{a^2}{r^2} \frac{\sin(\psi_0 t)}{\psi_0} \exp \left( -2 \frac{\nu}{a^2} t \right);$$

$$p_0^{(p)(1)}(r, t) = -\rho a \omega_0^2 h_0 \frac{a}{r} \left( \cos(\psi_0 t) - 2 \frac{\nu}{a^2} \frac{\sin(\psi_0 t)}{\psi_0} \right) \times \exp \left( -2 \frac{\nu}{a^2} t \right); \quad \psi_0 = \sqrt{\omega_0^2 - 4 \frac{\nu^2}{a^4}}. \quad (44)$$

Из выражений (44), описывающих радиальные пульсации конечной амплитуды заряженного пузырька, видно, что поле скоростей сферически симметрично потенциально и вихревые компоненты отсутствуют.

### 3в. Решение краевой задачи (31)–(41), описывающей поверхностные осцилляции пузырька без изменения его объема

Решение системы (31), (32) и (33), (34) с учетом условия ограниченности (35)–(37) и граничных условий (38)–(41) начнем с решения уравнений (31), (32), которые несложно свести к дифференциальному уравнению типа Эйлера для давления и получить решение, удовлетворяющее условиям ограниченности (7) или (35), вида

$$p_n^{(p)(1)}(r, S) = \frac{\rho S}{n+1} \frac{A_n(S)}{r^{n+1}}; \quad U_{rn}^{(p)}(r, S) = \frac{A_n(S)}{r^{n+2}};$$

$$U_{\vartheta n}^{(p)}(r, S) = -\frac{1}{n+1} \frac{A_n(S)}{r^{n+2}}. \quad (45)$$

Вихревые компоненты поля скоростей несложно найти, решив систему (33), (34) и удовлетворяя условиям ограниченности (35)

$$U_{\vartheta n}^{(c)}(r, S) = B_n(S) \exp\left(-\sqrt{\frac{S}{v}} r\right);$$

$$U_{rn}^{(c)}(r, S) = -B_n(S) \frac{n(n+1)}{r} \times \sqrt{\frac{v}{S}} \left(1 + \frac{1}{r} \left(\sqrt{\frac{v}{S}}\right)\right) \exp\left(-\sqrt{\frac{S}{v}} r\right). \quad (46)$$

Используя решение задачи нулевого порядка малости (22), из уравнений (36)–(38) для образа Лапласа поправки первого порядка к электростатическому потенциалу в окрестности заряженного пузырька найдем

$$\varphi_n^{(1)}(r, S) = \frac{Q}{a^2} \left(\frac{a}{r}\right)^{n+1} \xi_n(S). \quad (47)$$

Подставив выражения (45)–(47) в систему граничных условий кинематического (39) и динамических (40), (41) и учитывая (22), несложно найти коэффициенты  $A_n(S)$ ,  $B_n(S)$ ,  $\xi_n(S)$ , которые с учетом слагаемых не выше первого порядка малости по величине коэффициента кинематической вязкости примут вид

$$A_n(S) = -\frac{h_n \omega_n^2 a^{n+2}}{D_n(S)} \left(1 + 2n(n+2) \frac{v}{S a^2}\right) + O(v^{3/2});$$

$$B_n(S) = -\frac{2(n+2)}{n+1} \frac{h_n \omega_n^2}{D_n(S)} \frac{\sqrt{v}}{a \sqrt{S}} \left(1 - \frac{\sqrt{v}}{a \sqrt{S}}\right) \times \exp\left(\sqrt{\frac{S}{v}} a\right) + O(v^{3/2});$$

$$\xi_n(S) = \frac{h_n}{D_n(S)} \left(S + 2(n+2)(2n+1) \frac{v}{a^2}\right) + O(v^{3/2}); \quad (48)$$

$$D_n(S) = S^2 + 2(n+2)(2n+1) \frac{vS}{a^2} + \omega_n^2 + O(v^{3/2});$$

$$\omega_n^2 = \frac{\sigma}{\rho a^3} (n+1)(n-1) \left(n+2 - W\left(\frac{r_0}{a}\right)^3\right),$$

$$W = \frac{Q^2}{4\pi\sigma\epsilon_d r_0^3}.$$

Из выражений (48) видно, что изображения Лапласа параметров  $\xi_n(S)$ ,  $p_n^{(p)(1)}(r, S)$ ,  $U_{rn}^{(p)}(r, S)$ ,  $U_{\vartheta n}^{(p)}(r, S)$ ,  $U_{\vartheta n}^{(c)}(r, S)$ ,  $U_{rn}^{(c)}(r, S)$ , для которых справедливы выражения (45), (46), являются аналитическими функциями во всей комплексной плоскости за исключением точек, в которых  $D_n(S) = 0$ . Дисперсионное уравнение  $D_n(S) = 0$ , полученное выше в рамках модели пограничного слоя, имеет два комплексно сопряженных корня

$$S_n^{(+)} = -\alpha_n + i\bar{\omega}_n; \quad S_n^{(-)} = -\alpha_n - i\bar{\omega}_n; \quad (49)$$

$$\alpha_n = (n+2)(2n+1)v/a^2; \quad \bar{\omega}_n = \sqrt{\omega_n^2 - \alpha_n^2}.$$

С учетом сказанного формула обратного преобразования Лапласа запишется в виде

$$f(t) = \frac{1}{2\pi i} \int_{\beta-i\infty}^{\beta+i\infty} f(S) \exp(St) dS$$

$$= \text{res}_{S=S^{(+)}} (f(S) \exp(St)) + \text{res}_{S=S^{(-)}} (f(S) \exp(St)). \quad (50)$$

Подставив коэффициенты (48) в выражения (45), (46), учитывая (50), найдем решение задачи первого порядка малости по амплитуде начального отклонения поверхности пузырька

$$\xi_n(t) = h_n \left(\cos(\bar{\omega}_n t) + \frac{\alpha_n}{\bar{\omega}_n} \sin(\bar{\omega}_n t)\right) \exp(-\alpha_n t);$$

$$p_n^{(p)(1)}(r, t) = -\frac{\rho a \omega_n^2 h_n}{n+1} \left(\frac{a}{r}\right)^{n+1} \times \left(\cos(\bar{\omega}_n t) - (n+2) \frac{v}{\bar{\omega}_n a^2} \sin(\bar{\omega}_n t)\right) \exp(-\alpha_n t);$$

$$U_{rm}^{(p)}(r, t) = -h_n \left(\frac{a}{r}\right)^{n+2} \times \left(\frac{\omega_n^2}{\bar{\omega}_n} \sin(\bar{\omega}_n t) - 2n(n+2) \frac{v}{a^2} \cos(\bar{\omega}_n t)\right) \exp(-\alpha_n t);$$

$$U_{\vartheta n}^{(p)}(r, t) = \frac{h_n}{n+1} \left(\frac{a}{r}\right)^{n+2} \times \left(\frac{\omega_n^2}{\bar{\omega}_n} \sin(\bar{\omega}_n t) - 2n(n+2) \frac{v}{a^2} \cos(\bar{\omega}_n t)\right) \exp(-\alpha_n t);$$

$$U_{\vartheta n}^{(c)}(r, t) = \frac{n+2}{n+1} \frac{\omega_n^2}{\bar{\omega}_n} \frac{h_n}{ia} \left[ \frac{\eta_n^{(-)}}{\chi_n^{(-)}} \exp(\chi_n^{(-)}(a-r) - i\bar{\omega}_n t) - \frac{\eta_n^{(+)}}{\chi_n^{(+)}} \exp(\chi_n^{(+)}(a-r) + i\bar{\omega}_n t) \right] \exp(-\alpha_n t);$$

$$U_{rn}^{(c)}(r, t) = -n(n+2) \frac{\omega_n^2}{\bar{\omega}_n} \frac{h_n}{iar} \left[ \frac{\eta_n^{(-)}}{(\chi_n^{(-)})^2} \left(1 + \frac{1}{\chi_n^{(-)} r}\right) \times \exp(\chi_n^{(-)}(a-r) - i\bar{\omega}_n t) - \frac{\eta_n^{(+)}}{(\chi_n^{(+)})^2} \left(1 + \frac{1}{\chi_n^{(+)} r}\right) \times \exp(\chi_n^{(+)}(a-r) + i\bar{\omega}_n t) \right] \exp(-\alpha_n t); \quad (51)$$

$$\chi_n^{(-)} = \sqrt{\frac{-i\bar{\omega}_n - \alpha_n}{\nu}}; \quad \chi_n^{(+)} = \sqrt{\frac{i\bar{\omega}_n - \alpha_n}{\nu}};$$

$$\eta_n^{(-)} = 1 - \frac{1}{\chi_n^{(-)} a}; \quad \eta_n^{(+)} = 1 - \frac{1}{\chi_n^{(+)} a}.$$

Соотношения (51) описывают поверхностные осцилляции заряженного пузырька.

#### 4. Оценка толщины пограничного слоя

Напомним, что выражения (51) не являются точными решениями уравнений гидродинамики, а получены при частичном учете в линеаризованном уравнении Навье–Стокса вязких слагаемых, поэтому они будут хорошо описывать точное решение задачи об осцилляциях пузырька в вязкой жидкости только при малой вязкости жидкости, т.е. в условиях, когда вихревая компонента решения будет отлична от нуля лишь в тонком слое, прилегающем к поверхности пузырька, толщиной  $\delta \ll \pi a$ . Для завершения предпринятой модификации теории пограничного слоя для расчета линейных осцилляций заряженного пузырька в вязкой жидкости остается оценить толщину пограничного слоя, возникающего вблизи свободной поверхности осциллирующего пузырька в маловязкой жидкости.

Для оценки толщины пограничного слоя можно использовать тот факт, что вихрь скорости, рождаясь на свободной поверхности пузырька, диффундирует в глубь жидкости, окружающей пузырек, на некоторое характерное расстояние и затухает. Это характерное расстояние естественно принять за толщину пограничного слоя  $\delta$ . Используя (46), (48)–(50) для вихря скорости, можно найти приближенное выражение

$$\text{rot } \mathbf{U}(r, \vartheta, t) = \left( \sum_{n \in \mathbb{E}} \Omega_n(r, t) \partial_\vartheta P_n(\mu) \right) \mathbf{e}_\varphi,$$

где  $\mathbf{e}_\varphi$  — азимутальный орт сферической системы координат,

$$\Omega_n(r, t) = \frac{n+2}{n+1} \frac{ih_n \omega_n^2}{\bar{\omega}_n a} \left[ \eta_n^{(-)} \lambda_n^{(-)} \exp(\chi_n^{(-)}(a-r) - i\bar{\omega}_n t) - \eta_n^{(+)} \lambda_n^{(+)} \exp(\chi_n^{(+)}(a-r) + i\bar{\omega}_n t) \right] \exp(-\alpha_n t); \quad (52)$$

$$\lambda_n^{(-)} = 1 - \frac{1}{\chi_n^{(-)} r} - \frac{n(n+1)}{(\chi_n^{(-)})^2 r^2} \left( 1 + \frac{1}{\chi_n^{(-)} r} \right);$$

$$\lambda_n^{(+)} = 1 - \frac{1}{\chi_n^{(+)} r} - \frac{n(n+1)}{(\chi_n^{(+)})^2 r^2} \left( 1 + \frac{1}{\chi_n^{(+)} r} \right).$$

При малых значениях коэффициента кинематической вязкости  $\nu \rightarrow 0$ , для коэффициентов выражения (52) при  $\bar{\omega}_n \neq 0$  будут справедливы асимптотические оценки значений коэффициентов  $\chi_n^{(\pm)} \rightarrow \infty$ ,  $\eta_n^{(\pm)} \rightarrow 1$ ,  $\lambda_n^{(\pm)} \rightarrow 1$ ,

с учетом которых выражение для вихря  $\Omega_n(r, t)$  можно переписать в приближенном виде

$$\Omega_n(r, t) = \frac{n+2}{n+1} \frac{ih_n \omega_n^2}{\bar{\omega}_n a} \left[ \exp(\chi_n^{(-)}(a-r) - i\bar{\omega}_n t) - \exp(\chi_n^{(+)}(a-r) + i\bar{\omega}_n t) \right] \exp(-\alpha_n t). \quad (53)$$

Выражение (53) содержит параметры  $\chi_n^{(\pm)}$ , которые в зависимости от  $\bar{\omega}_n$  и  $\alpha_n$  могут принимать три различных значения. Первое значение  $\chi_n^{(\pm)}$  принимают в случае, когда  $\bar{\omega}_n^2 > 0$ , т.е. корни дисперсионного уравнения, полученного в приближении пограничного слоя (49), будут комплексно сопряженными. В этом случае, как и корни дисперсионного уравнения, параметры  $\chi_n^{(\pm)}$  будут комплексно сопряженными величинами вида

$$\chi_n^{(\pm)} = \sqrt{\frac{\pm i\bar{\omega}_n - \alpha_n}{\nu}} = \frac{\sqrt{\omega_n - \alpha_n}}{\sqrt{2\nu}} \pm i \frac{\sqrt{\omega_n + \alpha_n}}{\sqrt{2\nu}}.$$

В данной ситуации свободная поверхность пузырька будет совершать периодические осцилляции в окрестности равновесной сферы.

Второе значение  $\chi_n^{(\pm)}$  соответствует случаю, когда  $\bar{\omega}_n^2 < 0$  и  $|\bar{\omega}_n| > \alpha_n$ . В этой ситуации корни дисперсионного уравнения (49) будут вещественными числами разных знаков  $S_n^{(-)} > 0$ ,  $S_n^{(+)} < 0$ , а величины  $\chi_n^{(-)}$  и  $\chi_n^{(+)}$  будут принимать соответственно вещественное и мнимое значения вида

$$\chi_n^{(-)} = \sqrt{\frac{i\bar{\omega}_n - \alpha_n}{\nu}} = \sqrt{\frac{|\bar{\omega}_n| - \alpha_n}{\nu}};$$

$$\chi_n^{(+)} = \sqrt{\frac{i\bar{\omega}_n - \alpha_n}{\nu}} = i \sqrt{\frac{|\bar{\omega}_n| + \alpha_n}{\nu}}.$$

В данной ситуации поверхность пузырька является неустойчивой по отношению к искажению формы, что приводит к его дроблению на более мелкие пузырьки.

Третье значение величин  $\chi_n^{(\pm)}$  соответствует ситуации, в которой  $\bar{\omega}_n^2 < 0$  и  $|\bar{\omega}_n| < \alpha_n$ . В данном случае корни дисперсионного уравнения (49) будут вещественными отрицательными, а величины  $\chi_n^{(-)}$  и  $\chi_n^{(+)}$  чисто мнимыми:

$$\chi_n^{(-)} = \sqrt{\frac{-i\bar{\omega}_n - \alpha_n}{\nu}} = i \sqrt{\frac{-|\bar{\omega}_n| + \alpha_n}{\nu}};$$

$$\chi_n^{(+)} = \sqrt{\frac{i\bar{\omega}_n - \alpha_n}{\nu}} = i \sqrt{\frac{|\bar{\omega}_n| + \alpha_n}{\nu}}.$$

Отметим, что данная ситуация наблюдается в очень небольшом диапазоне параметров задачи вследствие малости параметра  $\alpha_n \sim \nu$ , характеризуется аперiodическими движениями стенки пузырька и непосредственно предшествует моменту потери устойчивости формы пузырька.

Проанализировав выражение (53), несложно увидеть, что в третьем случае, когда параметры задачи таковы, что  $\bar{\omega}_n^2 < 0$  и  $|\bar{\omega}_n| < \alpha_n$ , т.е. когда свободная поверхность пузырька совершает аperiодические, но устойчивые движения, вихрь скорости жидкости будет периодической функцией координаты  $r$  и не будет иметь явно выраженного множителя, затухающего при  $r \rightarrow +\infty$ , в связи с чем вихревое движение будет проникать в глубь жидкости, окружающей пузырек, на значительное расстояние, и развитая выше теория пограничного слоя в данной ситуации будет неприменима.

В первом и втором случаях, т.е. в условиях, когда поверхность пузырька совершает периодические осцилляции или является неустойчивой по отношению к бесконечно малым искажениям, в выражении для ротора скорости жидкости (53) можно выделить экспоненциальные множители, быстро убывающие при  $r \rightarrow +\infty$ , а следовательно, можно определить и толщину пограничного слоя, в котором будет локализовано вихревое движение. Так, в первом случае, когда  $\bar{\omega}_n^2 > 0$ , из (53) несложно получить выражение для вихря

$$\Omega_n(r, t) = \frac{2(n+2)}{n+1} \frac{h_n \omega_n^2}{\bar{\omega}_n a} \sin \left( \frac{\sqrt{\omega_n + \alpha_n}}{\sqrt{2\nu}} (a-r) + \bar{\omega}_n t \right) \times \exp \left( \frac{\sqrt{\omega_n - \alpha_n}}{\sqrt{2\nu}} (a-r) - \alpha_n t \right). \quad (54)$$

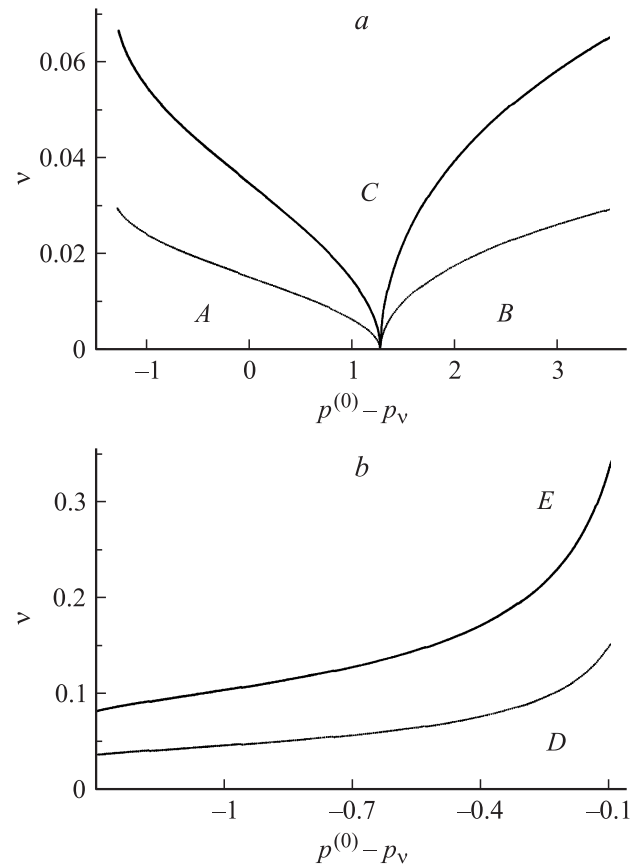
Во втором случае, когда  $\bar{\omega}_n^2 < 0$  и  $|\bar{\omega}_n| > \alpha_n$ , в выражении (53) можно учитывать только первое слагаемое, содержащее  $\chi_n^{(-)}$ , поскольку второе быстро затухает со временем и не участвует в формировании пограничного слоя вблизи свободной поверхности пузырька. В данном случае ротор скорости (53) можно записать в виде

$$\Omega_n(r, t) = \frac{n+2}{n+1} \frac{h_n \omega_n^2}{|\bar{\omega}_n| a} \times \exp \left( \sqrt{\frac{|\bar{\omega}_n| - \alpha_n}{\nu}} (a-r) + (|\bar{\omega}_n| - \alpha_n) t \right). \quad (55)$$

Проанализировав выражения (54), (55) несложно увидеть, что амплитуда вихря скорости имеет максимальное значение при  $r = a$ , т.е. на свободной поверхности пузырька, и затухает в глубь окружающей жидкости, уменьшая свою амплитуду в  $e \cong 2.718$  раз на характерном линейном масштабе  $\sqrt{2\nu/(\omega_n - \alpha_n)}$  при  $\bar{\omega}_n^2 > 0$  или на масштабе  $\sqrt{\nu/(|\bar{\omega}_n| - \alpha_n)}$  при  $\bar{\omega}_n^2 < 0$  и  $|\bar{\omega}_n| > \alpha_n$ . Данные характерные линейные масштабы и определяют характерную толщину  $\delta$  пограничного слоя вблизи свободной поверхности заряженного пузырька в вязкой диэлектрической жидкости

$$\delta = \begin{cases} \sqrt{2\nu/(\omega_n - \alpha_n)}, & \bar{\omega}_n^2 > 0; \\ \sqrt{\nu/(|\bar{\omega}_n| - \alpha_n)}, & \bar{\omega}_n^2 < 0; |\bar{\omega}_n| > \alpha_n. \end{cases} \quad (56)$$

На основе выражений (56) можно найти область физических параметров  $\nu$ ,  $p_g^{(0)}$ ,  $p^{(0)} - p_V$ ,  $W$ , в которых



**Рис. 1.** Результаты расчета (см. (56)) областей, в которых возможно использование теории пограничного слоя. Теория пограничного слоя применима в областях  $A, B, D$ , но неприменима в областях  $C$  и  $E$ . Сплошная кривая построена при  $p_g^{(0)} = 0.2$ ;  $W = 1$ ;  $\gamma = 4/3$ ,  $n = 2$ ,  $\Theta = 0.09$ , пунктир — при  $0.05$ .  $a$  — для меньшего корня уравнения (22);  $b$  — для большего.

предлагаемая модификация теории пограничного слоя может быть использована с заранее заданной точностью.

Пусть, например, требуется провести расчет с точностью  $U_r^{(c)}/U_\theta^{(c)} = \Theta \sim \delta/(a\pi)$ , где  $\Theta$  — допустимая погрешность, тогда соотношение  $\delta \sim \theta a \pi$  совместно с (56) дает связь между предельными значениями коэффициента вязкости  $\nu$  и параметрами  $p_g^{(0)}$ ,  $p^{(0)} - p_V$ ,  $W$ , при которых можно пользоваться развитой теорией пограничного слоя. Результаты подобного расчета для двух возможных корней уравнения (22), определяющих равновесные состояния пузырька в жидкости (см. [3]), приведены на рис. 1, где для заданного  $\Theta$  и постоянных значений  $p_g^{(0)} = 0.2$  и  $W = 1$  выделены области  $A, B, D$ , в которых можно пользоваться строгой теорией. Отметим, что все кривые на рис. 1 и на всех последующих рисунках рассчитаны в безразмерных переменных, в которых  $\rho = \sigma = r_0 = 1$  для основной моды осцилляций пузырька  $n = 2$ .



### 5. Анализ полученных результатов

Для оценки точности предлагаемой модификации теории пограничного слоя, связанного с поверхностными осцилляциями пузырька в вязкой диэлектрической жидкости, проведем сравнение найденного решения с точным решением системы (2)–(9), найденным в [2] и имеющим вид

$$\xi_n(t) = \sum_{m=1}^2 a_{\xi n}^1(S_n^{(m)}) \exp(S_n^{(m)}t) + \int_0^{+\infty} a_{\xi n}^2(\tau) \exp(-\tau^2 t) d\tau;$$

$$U_{rn}(r, t) = \sum_{m=1}^2 \left( a_n^1(S_n^{(m)}) \left( \frac{q}{r} \right)^{n+2} + b_n^1(S_n^{(m)}) \frac{1}{r} \frac{k_n(\chi_n^{(m)} r)}{k_n(\chi_n^{(m)} a)} \right) \exp(S_n^{(m)}t) + \int_0^{+\infty} \left( a_n^2(\tau) \left( \frac{a}{r} \right)^{n+2} + \frac{b_n^{2(+)}(\tau)}{r} \frac{k_n(\xi(\tau)r)}{k_n(\xi(\tau)a)} - \frac{b_n^{2(-)}(\tau)}{r} \frac{k_n(-\xi(\tau)r)}{k_n(-\xi(\tau)a)} \right) \exp(-\tau^2 t) d\tau;$$

$$U_{\vartheta n}(r, t) = - \sum_{m=1}^2 \left( \frac{a_n^1(S_n^{(m)})}{n+1} \left( \frac{a}{r} \right)^{n+2} + \frac{b_n^1(S_n^{(m)})}{n(n+1)} \times \left( \frac{n}{r} \frac{k_n(\chi_n^{(m)} r)}{k_n(\chi_n^{(m)} a)} + \chi_n^{(m)} \frac{k_{n-1}(\chi_n^{(m)} r)}{k_n(\chi_n^{(m)} a)} \right) \right) \exp(S_n^{(m)}t) - \int_0^{+\infty} \left\{ \frac{a_n^2(\tau)}{n+1} \left( \frac{a}{r} \right)^{n+2} + \frac{b_n^{2(+)}(\tau)}{n(n+1)} \left( \frac{n}{r} \frac{k_n(\xi(\tau)r)}{k_n(\xi(\tau)a)} + \xi(\tau) \frac{k_{n-1}(\xi(\tau)r)}{k_n(\xi(\tau)a)} \right) - \frac{b_n^{2(-)}(\tau)}{n(n+1)} \left( \frac{n}{r} \frac{k_n(-\xi(\tau)r)}{k_n(-\xi(\tau)a)} - \xi(\tau) \frac{k_{n-1}(-\xi(\tau)r)}{k_n(-\xi(\tau)a)} \right) \right\} \exp(-\tau^2 t) d\tau;$$

$$p_n(r, t) = \sum_{m=1}^2 \frac{\rho a S_n^{(m)}}{n+1} a_n^1(S_n^{(m)}) \left( \frac{a}{r} \right)^{n+1} \exp(S_n^{(m)}t) - \int_0^{+\infty} \frac{\rho a \tau^2}{n+1} a_n^2(\tau) \left( \frac{a}{r} \right)^{n+1} \exp(-\tau^2 t); \quad (57)$$

$$a_{\xi n}^1(S_n^{(m)}) = \left( S_n^{(m)} + 2(n+2)(2n+1) \frac{\nu}{a^2} - \frac{4n(n+2)^2 \nu}{a^3 \chi_n^{(m)}} \frac{k_{n-1}(\chi_n^{(m)} a)}{k_n(\chi_n^{(m)} a)} \Lambda_n(S_n^{(m)}) \right) \frac{h_n}{\partial_{S_n^{(m)}} D_n(S_n^{(m)})};$$

$$\Lambda_n(S_n^{(m)}) = \left( 1 + \frac{2}{\chi_n^{(m)} a} \frac{k_{n-1}(\chi_n^{(m)} a)}{k_n(\chi_n^{(m)} a)} \right)^{-1};$$

$$\xi(\tau) = \frac{i\tau}{\sqrt{\nu}}; \quad \chi_n^{(m)} = \sqrt{\frac{S_n^{(m)}}{\nu}};$$

$$a_n^1(S_n^{(m)}) = - \left( 1 + 2n(n+2) \frac{\nu}{a^2 S_n^{(m)}} \Lambda_n(S_n^{(m)}) \right) \times \frac{\omega_n^2 h_n}{\partial_{S_n^{(m)}} D_n(S_n^{(m)})};$$

$$b_n^1(S_n^{(m)}) = 2n(n+2) \frac{\nu}{a S_n^{(m)}} \Lambda_n(S_n^{(m)}) \frac{\omega_n^2 h_n}{\partial_{S_n^{(m)}} D_n(S_n^{(m)})};$$

$$D_n(S_n^{(m)}) = (S_n^{(m)})^2 + \omega_n^2 + 2(n+2)(2n+1) \frac{S_n^{(m)} \nu}{a^2} - 4n(n+2)^2 \frac{\sqrt{\nu^3}}{a^3} \sqrt{S_n^{(m)}} \frac{k_{n-1}(\chi_n^{(m)} a)}{k_n(\chi_n^{(m)} a)} \Lambda_n(S_n^{(m)});$$

$$\partial_{S_n^{(m)}} D_n(S_n^{(m)}) = 2S_n^{(m)} + 2(n+2)(2n+1) \frac{\nu}{a^2}$$

$$+ 2n(n+2)^2 \frac{\nu}{a^2} \left( 1 - \frac{1}{\chi_n^{(m)} a} \frac{k_{n-1}(\chi_n^{(m)} a)}{k_n(\chi_n^{(m)} a)} \right)$$

$$\times \left( 2n+1 + (4 + (\chi_n^{(m)})^2 a^2) \frac{1}{\chi_n^{(m)} a} \frac{k_{n-1}(\chi_n^{(m)} a)}{k_n(\chi_n^{(m)} a)} \right)$$

$$\times \left( 1 + \frac{2}{\chi_n^{(m)} a} \frac{k_{n-1}(\chi_n^{(m)} a)}{k_n(\chi_n^{(m)} a)} \right)^{-2};$$

$$a_{\xi n}^2(\tau) = - \frac{4n(n+2)^2}{\Xi_n^{(+)}(\tau) \Xi_n^{(-)}(\tau)} \frac{h_n \nu^{3/2} \omega_n^2}{\pi a}$$

$$\times \left( \frac{k_{n-1}(\xi(\tau)a)}{k_n(\xi(\tau)a)} + \frac{k_{n-1}(-\xi(\tau)a)}{k_n(-\xi(\tau)a)} \right);$$

$$a_n^2(\tau) = \frac{4n(n+2)}{\tau^2 \Xi_n^{(+)}(\tau) \Xi_n^{(-)}(\tau)} \frac{h_n \nu^{3/2} \omega_n^2}{a^3 \pi} \times \left( (n+1)\tau^4 \left( 1 - 2(n-1)(n+2) \frac{\nu}{a^2 \tau^2} \right) - \omega_n^2 \right)$$

$$\times \left( \frac{k_{n-1}(\xi(\tau)a)}{k_n(\xi(\tau)a)} + \frac{k_{n-1}(-\xi(\tau)a)}{k_n(-\xi(\tau)a)} \right);$$

$$b_n^{2(\pm)}(\tau) = \frac{2n(n+2) \nu h_n \omega_n^2}{a \pi i \tau \Xi_n^{(\pm)}(\tau)};$$

$$\Xi_n^{(\pm)}(\tau) = \left( \tau^4 + \omega_n^2 - 2(n+2)(2n+1) \frac{\tau^2 \nu}{a^2} \right)$$

$$\times \left( 1 \pm \frac{2\sqrt{\nu}}{i a \tau} \frac{k_{n-1}(\pm \xi(\tau)a)}{k_n(\pm \xi(\tau)a)} \right)$$

$$\pm 4n(n+2)^2 \frac{\tau \nu^{3/2}}{i a^3} \frac{k_{n-1}(\pm \xi(\tau)a)}{k_n(\pm \xi(\tau)a)},$$

где  $S_n^{(m)}$  — корень дисперсионного уравнения  $D_n(S_n^{(m)}) = 0$ , а  $k_n(\chi_n^{(k)} r)$  — модифицированная сферическая функция Бесселя третьего рода аргумента  $\chi_n^{(m)} r$  [10].

Используя точное решение (57), найдем выражение для ротора скорости жидкости в окрестности свободной поверхности пузырька

$$\text{rot } \mathbf{U}(r, \vartheta, t) = \left( \sum_{n \in \mathbb{N}} \Omega_n(r, t) \partial_{\vartheta} P_n(\mu) \right) \mathbf{e}_{\varphi};$$

$$\begin{aligned} \Omega_n(r, t) &= \sum_{m=1}^2 \frac{b_n^1(S_n^{(m)})}{n(n+1)} \frac{S_n^{(m)}}{\nu} \frac{k_n(\chi_n^{(m)} r)}{k_n(\chi_n^{(m)} a)} \exp(S_n^{(m)} t) \\ &- \int_0^{+\infty} \left( \frac{b_n^{2(+)}(\tau)}{n(n+1)} \frac{k_n(\xi(\tau) r)}{k_n(\xi(\tau) a)} - \frac{b_n^{2(-)}(\tau)}{n(n+1)} \frac{k_n(-\xi(\tau) r)}{k_n(-\xi(\tau) a)} \right) \\ &\times \frac{\tau^2}{\nu} \exp(-\tau^2 t) d\tau. \end{aligned}$$

Дисперсионное уравнение  $D_n(S_n^{(m)}) = 0$  и выражение для вихря (58) перепишем в асимптотике малой вязкости  $\nu \rightarrow 0$

$$\begin{aligned} D_n(S_n^{(m)}) &= (S_n^{(m)})^2 + 2(n+2)(2n+1) \frac{S_n^{(m)} \nu}{a^2} \\ &+ \omega_n^2 + O(\nu^{3/2}); \end{aligned} \quad (59)$$

$$\begin{aligned} \Omega_n(r, t) &= \sum_{m=1}^2 \frac{2(n+2)}{n+1} \frac{\omega_n^2 h_n}{\partial_S D_n(S_n^{(m)})} \frac{\exp(\chi_n^{(m)}(a-r))}{r} \\ &\times \exp(S_n^{(m)} t) + O(\sqrt{\nu}). \end{aligned} \quad (60)$$

При записи (59) и (60) было использовано асимптотическое представление модифицированной сферической функции Бесселя третьего рода [10]

$$\begin{aligned} k_n(z) &= \frac{\pi}{2z} \exp(-z) \\ &\times \left( 1 + \frac{n(n+1)}{2z} + O\left(\frac{1}{z^2}\right) \right), \quad z \rightarrow \infty, \end{aligned}$$

а также учтено, что интегральное слагаемое в (58) имеет порядок не ниже  $\sqrt{\nu}$ .

Дисперсионное уравнение (59) имеет корни, определенные выражениями (49), а выражение для вихря (60) можно привести к виду, схожему с выражениями (54), (55). Так, в частности, если  $\bar{\omega}_n^2 > 0$ , проанализировав как и выше, величины  $\lambda_n^{(m)}$ , выражение (60) можно привести к виду

$$\begin{aligned} \Omega_n(r, t) &= \frac{2(n+2)}{n+1} \frac{h_n \omega_n^2}{\bar{\omega}_n r} \\ &\times \sin \left( \frac{\sqrt{\omega_n + \alpha_n}}{\sqrt{2\nu}} (a-r) + \bar{\omega}_n t \right) \\ &\times \exp \left( \frac{\sqrt{\omega_n - \alpha_n}}{\sqrt{2\nu}} (a-r) - \alpha_n t \right), \end{aligned} \quad (61)$$

если  $\bar{\omega}_n^2 < 0$  и  $|\bar{\omega}_n| > \alpha_n$  — то к виду

$$\begin{aligned} \Omega_n(r, t) &= \frac{n+2}{n+1} \frac{h_n \omega_n^2}{|\bar{\omega}_n| r} \\ &\times \exp \left( \sqrt{\frac{|\bar{\omega}_n| - \alpha_n}{\nu}} (a-r) + (|\bar{\omega}_n| - \alpha_n) t \right). \end{aligned} \quad (62)$$

Из сравнения выражений (61), (62) с (54), (55) видно, что они практически совпадают, за тем лишь исключением, что в точных выражениях (61), (62) содержится множитель  $1/r$ , а в выражениях (54), (55), полученных в приближении пограничного слоя, вместо данного множителя содержится множитель  $1/a$ . Данную особенность можно также обнаружить, если сравнить разложения вихревых компонент скорости в ряд по величине вязкости жидкости  $\nu$ , в приближении пограничного слоя (51) и точного решения (57). При малой вязкости жидкости амплитуда вихревой компоненты скорости жидкости, окружающей пузырек, стремится к нулю при  $r \rightarrow +\infty$  за счет быстрого убывания экспоненциального множителя, и различие между точным и приближенным решениями при этом уменьшается, так как зависимость  $1/r$  является слабой по сравнению с экспоненциальным уменьшением амплитуды волны при  $r \rightarrow +\infty$ .

Отметим также, что точные выражения для отклонения поверхности пузырька  $\xi_n(t)$ , поля давлений  $p_n^{(1)}(r, t)$  и потенциальных компонент поля скоростей жидкости  $U_{rn}^{(p)}(r, t)$ ,  $U_{\vartheta n}^{(p)}(r, t)$ , определенные выражениями (57) в пределе малой вязкости жидкости  $\nu \rightarrow 0$ , имеют аналитический вид, в точности совпадающей с такими же значениями, найденными в модели пограничного слоя и определенными выражениями (51).

Последние два факта (аналитическое совпадение (с точностью до слабоменяющегося множителя  $1/r$ ) точных выражений для вихрей скорости, а так же вихревых компонент скорости в приближении малой вязкости с аналогичными выражениями, полученными в приближении теории пограничного слоя; полное аналитическое совпадение точных выражений для образующей поверхности пузырька, поля давления и компонент полей скоростей в приближении малой вязкости с такими же величинами, найденными в модели пограничного слоя) указывают на то, что в условиях малой вязкости предлагаемая модификация теории пограничного слоя качественно адекватно характеризует процессы, реализующиеся на поверхности пузырька и в глубине жидкости, окружающей его.

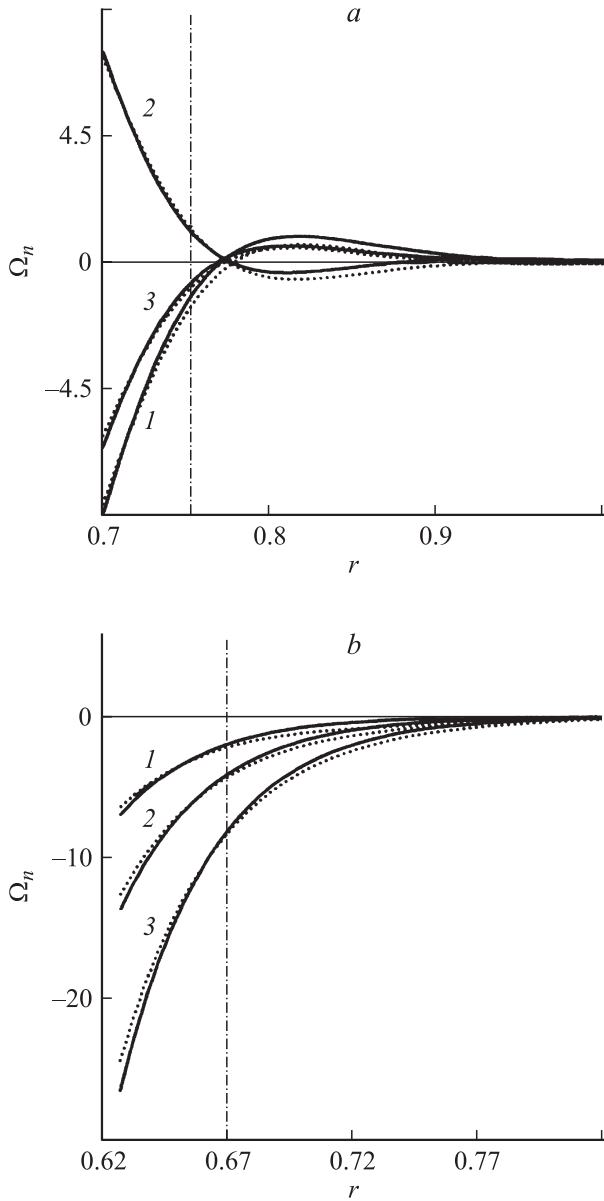
Интересно отметить, что, согласно выражениям (61), (62), на поверхности пузырька  $r = a$  в идеальной жидкости (при  $\nu = 0$ ) вихрь скорости будет отличен от нуля и примет значения

$$\Omega_n(r, t) = \frac{2(n+2)}{n+1} \frac{h_n \omega_n}{a} \sin(\omega_n t) \quad \text{при } \omega_n^2 > 0;$$

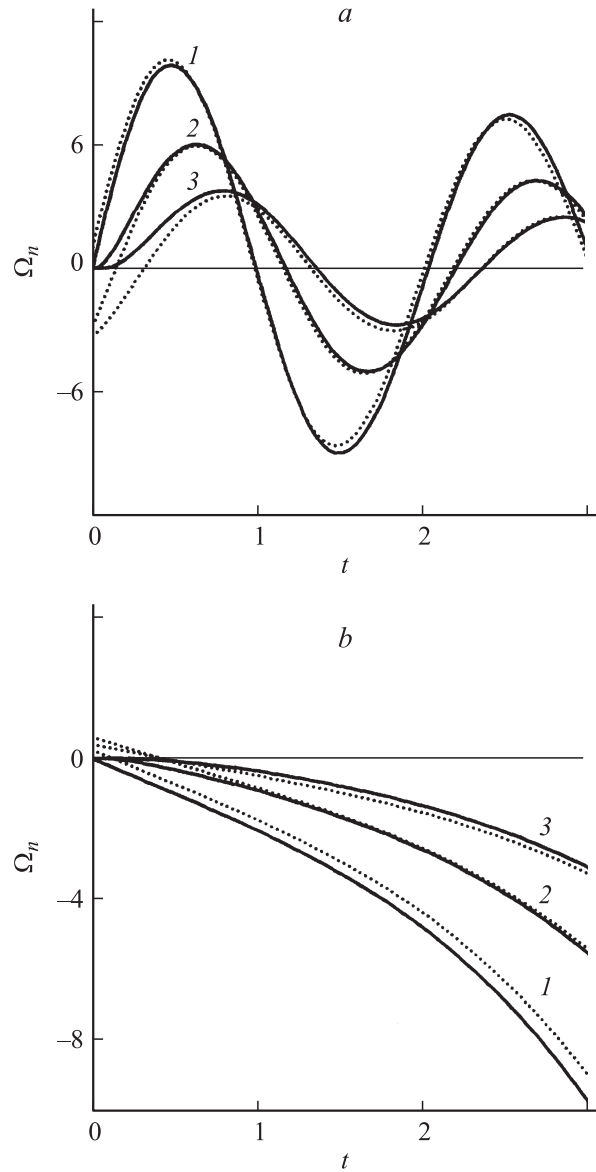
$$\Omega_n(r, t) = \frac{n+2}{n+1} \frac{h_n |\omega_n|}{a} \exp(|\omega_n| t) \quad \text{при } \omega_n^2 < 0.$$

### 6. Численный анализ точности теории пограничного слоя

Проанализируем зависимости от радиальной переменной  $r$  выражения для вихря скорости жидкости  $\Omega_n(r, t)$  в окрестности пузырька при фиксированном времени  $t = \text{const}$ , отталкиваясь от выражения (52), полученного в теории пограничного слоя и от (58) в точной теории. Результаты расчета по (52) и (58) приведены на рис. 2. Расчеты показывают, что теория пограничного



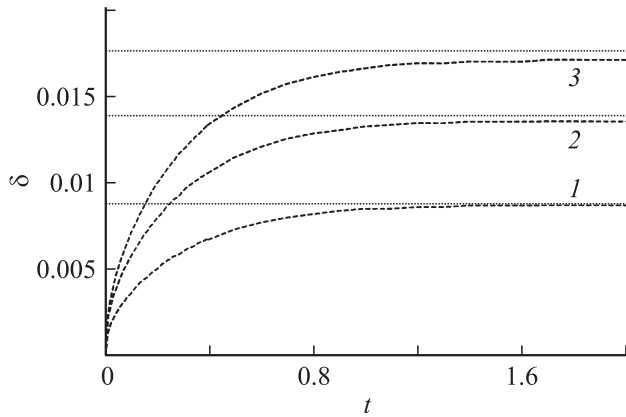
**Рис. 2.** Зависимости от радиальной переменной  $r$  амплитуды вихря  $\Omega_n$ , построенные при  $n = 2$ ,  $p_g^{(0)} = 0.2$ ,  $W = 1$ ,  $\gamma = 4/3$ . Сплошная кривая рассчитана по точному выражению (58), пунктир — по приближенному (52). Вертикальная штрихпунктирная линия указывает толщину пограничного слоя, определенную, согласно (56): а)  $p^{(0)} - p_v = 0.05$ ,  $\nu = 0.004$ : 1 —  $t = 1.5$ ; 2 — 2.5; 3 — 3.5; б)  $p^{(0)} - p_v = 1.32$ ,  $\nu = 0.001$ : 1 — 2.5; 2 — 3.5; 3 — 4.5.



**Рис. 3.** Зависимости от времени  $t$  амплитуды вихря  $\Omega_n$ , построенные по точному выражению (58) (сплошная кривая), и по приближенному (52) в рамках модифицируемой теории пограничного слоя (пунктир), при  $r = a$  (кривая 1),  $r = a + \delta/2$  (2),  $r = a + \delta$  (3),  $n = 2$ ,  $p_g^{(0)} = 0.2$ ,  $W = 1$ ,  $\gamma = 4/3$ . а)  $p^{(0)} - p_v = 0.05$ ,  $\nu = 0.004$ ; б)  $p^{(0)} - p_v = 1.32$ ,  $\nu = 0.001$ .

слоя хорошо приближает точное решение только с некоторого момента времени  $t_0$ , начиная с которого интегральное слагаемое в выражении (58) становится несущественным. В начальный момент времени  $t = 0$  модифицированная теория пограничного слоя может давать существенные отклонения от точной теории в широком диапазоне значений  $r$  (рис. 3).

Появление обсуждаемой особенности с математической точки зрения связано с тем, что точное дисперсионное уравнение  $D_n(S) = 0$  на комплексной плоскости  $(\text{Re}(S), \text{Im}(S))$  имеет линию разрыва, совпадаю-



**Рис. 4.** Зависимость толщины пограничного слоя  $\delta$ , возникающего у свободной поверхности пузырька, от времени  $t$  при  $n = 2$ ,  $p_g^{(0)} = 0.2$ ,  $W = 1$ ,  $\gamma = 4/3$ ,  $p^{(0)} - p_v = 1.9$ ;  $\nu = 0.0002$  (кривая 1), 0.0005 (2), 0.0008 (3). Пунктир — значения, рассчитанные в рамках точной теории по (58), точечные прямые рассчитаны по приближенному выражению (56).

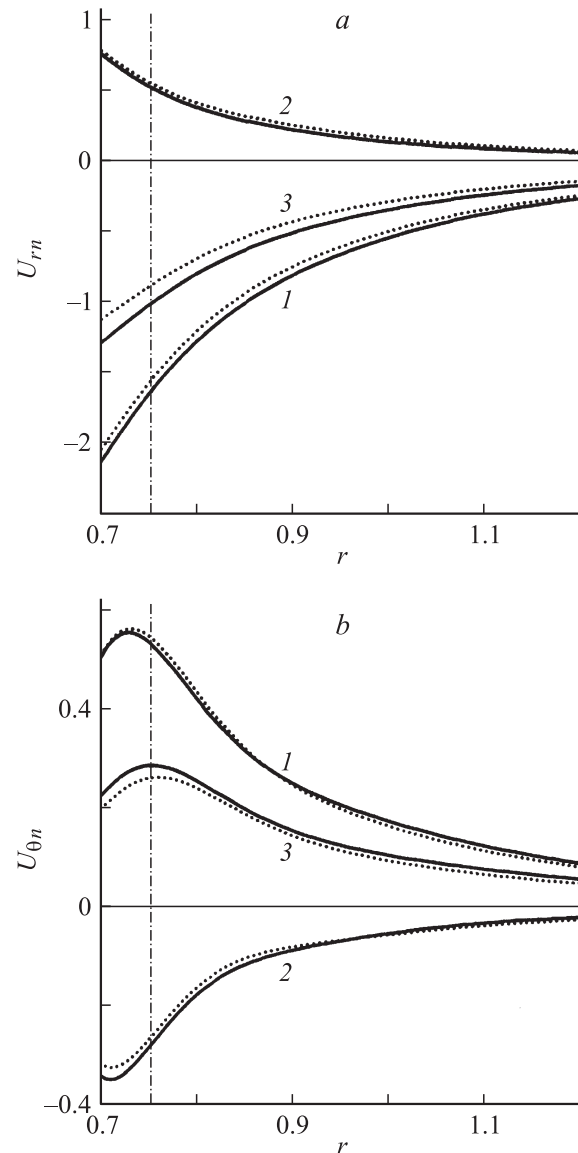
шую с отрицательной частью вещественной оси комплексной плоскости, т. е. характеризующуюся условиями  $\text{Re}(S) < 0$ ,  $\text{Im}S = 0$ , что приводит к точному выражению для вихря (58) к интегральному слагаемому. В теории пограничного слоя приближенное дисперсионное уравнение (48) является аналитической функцией во всей комплексной плоскости и поэтому интегральных слагаемых не возникает. Интегральное слагаемое выражения (58) содержит в себе быстро затухающую с увеличением времени  $t$  экспоненту и потому проявляется только в начальные моменты времени, что и дает расхождение в значениях точного вихря скорости и вихря скорости, рассчитанного в теории пограничного слоя. С физической точки зрения данное обстоятельство связано с заданием в решаемой задаче нулевого начального условия для поля скоростей: полноценное распределение поля скоростей течения жидкости, связанное с осцилляциями поверхности пузырька, установится на интервале времени порядка периода осцилляций.

Отметим также, что время  $t_0$ , начиная с которого теория пограничного слоя хорошо приближает точную теорию, является величиной, много меньшей времени затухания движений в объеме жидкости, окружающей пузырек, и на его поверхности, как это хорошо видно из рис. 3.

Тот факт, что теория пограничного слоя описывает реальные движения жидкости в окрестности пузырька только начиная с некоторого момента времени, указывает на то, что на ее основе нельзя описать зарождение пограничного слоя вблизи свободной поверхности заряженного пузырька в диэлектрической жидкости нужно использовать точное выражение (58) для вихря скорости. Принимая за толщину пограничного слоя  $\delta$  расстояние от свободной поверхности пузырька, на котором величина вихря, описываемого точным

решением (58), уменьшается в  $e \approx 2.718$  раз, нанесем зависимость  $\delta = \delta(t)$  на рис. 4 пунктиром. На том же рисунке точечные прямые дают пограничный слой, определенный в рамках модифицированной теории по соотношению (56).

Анализ рис. 4 показывает, что толщина пограничного слоя вблизи свободной поверхности пузырька в жидкости, определенная по точному решению, при малых временах возрастает, а затем остается практически постоянной, примерно равной толщине пограничного слоя (56), определенной в модифицированной теории.



**Рис. 5.** Зависимости от координаты  $r$  проекций поля скоростей на орты сферической системы координат ( $a - U_{rn}$ ,  $b - U_{\theta n}$ ), построенные при  $n = 2$ ,  $p_g^{(0)} = 0.2$ ,  $W = 1$ ,  $\gamma = 4/3$ ,  $p^{(0)} - p_v = 0.05$ ,  $\nu = 0.004$ ;  $t = 2.5$  (кривые 1), 3.2 (2), 4.8 (3). Сплошные кривые соответствуют точному решению, пунктир — приближению пограничного слоя. Вертикальная штрихпунктирная линия указывает толщину пограничного слоя, определенную выражением (56).

Из рис. 4 можно видеть, что время формирования пограничного слоя у поверхности пузырька, совершающего осцилляции в вязкой жидкости, является небольшим по сравнению с характерными временами вязкого затухания колебаний поверхности пузырька. Оно примерно равно периоду осцилляций в области устойчивости или величине, обратной инкременту неустойчивости при дроблении пузырька на части.

Проведенный численный анализ точности теории пограничного слоя, модифицированной для расчета осцилляций пузырька в жидкости, указывает на то, что при  $t \geq t_0$  теория пограничного слоя весьма точно описывает реальное вихревое движение жидкости в окрестности пузырька в вязкой безграничной жидкости. Если вязкость жидкости является малой величиной, то вихревые компоненты, пропорциональные  $U_{rn}^{(c)}(r, t) \sim \nu$  и  $U_{\theta n}^{(c)}(r, t) \sim \sqrt{\nu}$ , оказываются малыми величинами в сравнении с крупномасштабным потенциальным движением жидкости в окрестности пузырька. Все это приводит к тому, что проекции скорости жидкости на орты сферической системы координат, определенные с учетом потенциальных и вихревых компонент при малой вязкости жидкости, в теории пограничного слоя и точной теории отличаются весьма незначительно, как этом можно видеть из рис. 5. Отметим также, что численный анализ точности построенной теории пограничного слоя указывает на то, что амплитудный коэффициент  $\xi_n$ , описывающий форму пузырька в жидкости, вычисленный в приближении теории пограничного слоя, весьма незначительно отличается от своего точного значения при малой вязкости жидкости.

## 7. Заключение

Предложенная модификация теории пограничного слоя у свободной заряженной поверхности осциллирующего пузырька в вязкой жидкости в асимптотике малой вязкости хорошо аппроксимирует точное решение. Существенно более простая математическая модель задачи расчета осцилляций заряженного пузырька в рамках развитой теории пограничного слоя по сравнению с точной математической моделью позволяет надеяться на значительное снижение трудоемкости расчета нелинейных осцилляций такого пузырька.

Работа выполнена при поддержке гранта президиума РФ № МК-2209-2006-1, гранта РФФИ № 06-01-00066-а и гранта губернатора Ярославской области.

## Список литературы

- [1] Longuet-Higgins M.S. // Royal. Soc. London. Trans. Ser. A. 1953. Vol. 245. N 903. P. 535–581.
- [2] Жаров А.Н., Григорьев А.И., Жарова И.Г. // ЖТФ. 2006. Т. 76. Вып. 3. С. 16–24.
- [3] Григорьев А.И., Жаров А.Н. // ЖТФ. 2000. Т. 70. Вып. 4. С. 8–13.

- [4] Жаров А.Н., Григорьев А.И. // ЖТФ. 2001. Т. 71. Вып. 11. С. 12–20.
- [5] Ландау Л.Д., Лифшиц Е.М. Гидродинамика. М.: Наука, 1986. 733 с.
- [6] Chandrasekhar S. // Proc. London Math. Soc. 1959. Vol. 3. N 9. P. 141–149.
- [7] Григорьев А.И., Лазарянц А.Э. // ЖВММФ. 1992. Т. 32. № 6. С. 929–938.
- [8] Левич В.Г. Физико-химическая гидродинамика. М.: Физматгиз, 1959. 699 с.
- [9] Диткин В.А., Прудников А.П. Операционное исчисление. М.: Высш. шк. 1975. 408 с.
- [10] Справочник по специальным функциям / Под ред. М. Абрамовиц, И. Стиган. М.: Наука, 1979. 832 с.